

УДК 537.533.35

МИНЕРАЛОГИЯ

В. С. ГАЙДУКОВА, Л. В. ЧЕРНЫШЕВА

## НОВЫЕ ДАННЫЕ О СТРУКТУРАХ РАСПАДА В МАГНЕТИТАХ КОВДОРСКОГО МЕСТОРОЖДЕНИЯ

(Представлено академиком Н. В. Беловым 10 XII 1969)

Ковдорское железорудное месторождение расположено в западной части Кольского полуострова в пределах Ковдорского массива ультраосновных — щелочных пород и карбонатитов. Массив имеет в плане эллипсоидную форму (размеры  $10 \times 4,5$  км) и представляет собой многофазный интрузив центрального типа, сложенный оливинитами, ийолит-мелтьегитами, меллизилитовыми породами, нефелиновыми сиенитами и сложным комплексом силикатных метасоматических пород и карбонатитовых образований. Железорудные породы залегают главным образом в ийолитах и представлены разновидностями магнетитсодержащих форстерит-апатитовых пород и карбонатитов, вытянутых в субмеридиональном направлении согласно с общим простиранием массива.

Магнетит является одним из главных породообразующих минералов в большинстве метасоматических пород Ковдорского месторождения. Магнетиты из различных типов руд детально изучались О. М. Римской-Корсаковой, Э. В. Быковой, Т. Н. Поганкиной, Ю. М. Кирнарским и др.

Изучение магнетитов из пород различных стадий карбонатитового процесса при помощи обычного микроскопа в отраженном свете выявило в них микровключения — продукты распада твердого раствора: ильменита и шпинели (плеонаста). Ильменит образует типичные и закономерные ориентированные (по направлениям [111] в магнетите) эмульсионные, пластинчатые и решетчатые структуры распада, реже аллотриоморфные. Состав ильменита (по данным рентгеноспектрального анализа на микроанализаторе JXA-3A, аналитик В. П. Быков) следующий:  $TiO_2$  50,0%;  $FeO_{общ}$  41,7%;  $MgO$  2,5%. Выделения шпинели в магнетите — изометрические, точечные и прерывисто-игольчатые — часто образуют структуры, по рисунку напоминающие «азбуку Морзе». Детальное описание типов выделений шпинели в магнетитах Ковдорского месторождения приведено в работе О. М. Римской-Корсаковой ('). Состав шпинели (по данным рентгеноспектрального анализа на микроанализаторе JXA-3A) следующий:  $MgO$  20%;  $Al_2O_3$  65%;  $FeO_{общ}$  15%, — что отвечает плеонасту.

Просмотр участков магнетита между включениями ильменита и шпинели на большой модели рейхертовского микроскопа (Институт геологии рудных месторождений, петрографии, минералогии и геохимии АН СССР) при  $>1000 \times$  обнаруживает неоднородность этих участков. На фоне общей массы магнетита (1-я фаза) заметны очень тонкие пластинчатые и неправильной формы выделения изотропного минерала с отражательной способностью более высокой, чем у основной массы магнетита (2-я фаза). Детально изучить эти выделения в сплошах, так же как и определить их состав на микроанализаторе, невозможно из-за того, что размеры их превышают долей микрона. Рентгеноструктурный анализ не обнаружил в образце магнетита двух фаз, видимо также из-за их тонкой дисперсности.

В настоящей работе рассматриваются структуры распада твердого раствора, выявленные электронной микроскопией методом одноступенча-

тых угольных реплик с естественных сколов. В целях усиления контрастности изображения использовалось косое оттенение поверхности объекта углем (угол оттенения 20—50° в зависимости от сложности рельефа). Для массового просмотра реплик использовался настольный чешский микроскоп III класса Tesla BS-242; для просмотра отдельных деталей объектов применялся отечественный электронный микроскоп I класса УЭМВ-100.

Для получения более четких структур некоторые поверхности сколов подвергались травлению концентрированной HCl (время травления 3—5 сек.).

В результате электронномикроскопического изучения магнетитов из гумит-магнетит - апатитовых пород, помимо обычных структур распада ильменита и шпинели, в «гомогенных» участках магнетита (без видимых при обычных микроскопических исследованиях микроявлений) обнаружены своеобразные бугорчатые, штриховидно-пластинчатые и сетчатые структуры распада двух фаз, по рисунку напоминающие срастания магнетита и ульвёшпинели (<sup>2, 3, 6</sup>), но не аналогичные им.

Не останавливаясь пока на составе указанных фаз, мы рассматриваем морфологические типы структур распада твердого раствора, выявленные электронной микроскопией. Пластиинки распада ильменита, видимые в обычном световом микроскопе, на репликах выглядят как «крупные балки» (длиной до нескольких микрон и более и шириной от 0,5 до 1 $\mu$ ). Шпинель на репликах, как правило, представлена октаэдрами или зернами с квадратными и шестиугольными поперечными сечениями; иногда наблюдаются вытянутые формы выделений шпинели. Как видно на электронномикроскопических снимках, участки, расположенные между выделениями распада ильменита и шпинели, почти всегда характеризуются неоднородным строением и часто характеризуются своеобразными бугорчатыми, штриховидно-пластинчатыми и сетчатыми структурами распада двух фаз, о которых упоминалось выше. Особенно четко эти структуры проявляются после травления поверхности образца HCl. Размер пластинчатых выделений обычно меньше 1 $\mu$  и лишь изредка отмечаются пластиинки длиной в несколько микрон, но ширина их не превышает 0,1—0,2 $\mu$ .

На рис. 1—4 представлены все типы этих структур распада с протравленных сколов образцов магнетита. При просмотре всей серии снимков можно наблюдать постепенные переходы от начальных бугорчатых (зародышевых) структур распада до типичных сетчатых. На рис. 1 наблюдаются очень мелкие (сотые доли микрона) бугорки-зародыши кристаллов (крупные квадратные зерна принадлежат шпинели). Далее (рис. 2) появляются параллельные, расположенные в одном направлении штрихобразные пластиночки. На других снимках видны штрихобразные пластиночки, расположенные перпендикулярно к основному их направлению,

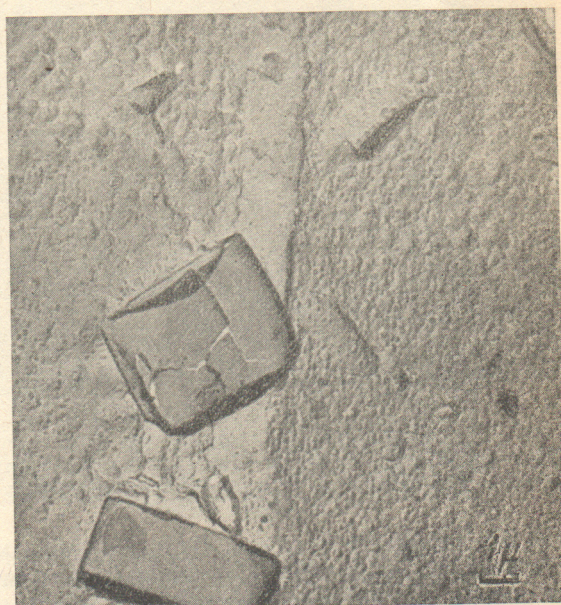


Рис. 1. Бугорчатое строение «гомогенных» участков магнетита. Крупные квадратные выделения — плеоаст. Угольная реплика со скола магнетита, проправленного в HCl. 3500 $\times$  (УЭМВ-100)

в результате чего образуются крестообразные формы выделений. Дальнейшее развитие этой структуры приводит к появлению своеобразных сетчатых срастаний, напоминающих рисунок волокна (рис. 3). Иногда все отмеченные переходы структур распада наблюдаются на небольших участках (рис. 4), где видны постепенные переходы от почти гомогенных участков к сетчатым структурам.

Итак, электронно-микроскопическое изучение «гомогенных» участков магнетита выявило в них наличие двух фаз. Широкое развитие эти фазы получают в магнетитах из гумит-апатит-магнетитовых пород, хотя наблюдаются и в магнетитах других стадий карбонатового процесса, ча-

Рис. 2. Штрихобразное, прерывисто-пластинчатое строение «гомогенных» участков магнетита. Угольная реплика со скола магнетита, протравленного в HCl. 3000 X (Tesla BS-242)

сто обогащенных магнием. Валовая проба магнетита (с микровключениями распада ильменита и шпинели) из гумит-апатит-магнетитовой породы содержит (по данным химического анализа):  $MgO$  4,11%,  $TiO_2$  1,26% и  $Al_2O_3$  0,52%. «Гомогенные» участки магнетита между микровключениями распада ильменита и шпинели (по данным рентгеноспектрального анализа на микроанализаторе при разрешающей способности  $1,5-2\mu$ ) характеризуются также заметными, но несколько более низкими содержаниями  $MgO$  (3,8%) и  $TiO_2$  (1,16%).

Терромагнитные исследования данного магнетита, проведенные Г. М. Зайцевой, показали в нем наличие двух магнитных фаз с точками Кюри:  $\theta = 525^\circ$  и  $\theta = 435^\circ$ . Первая фаза ( $\theta = 525^\circ$ ) близка к чистому магнетиту ( $\theta = 575^\circ$ ), несколько пониженные значения точки Кюри которого, возможно, обусловлены изоморфными примесями  $Ti$  и  $Mg$ . Вторая фаза ( $\theta = 435^\circ$ ) относится к более магнезиальной разности магнетита (известно, что у магномагнетита с раз-



Рис. 3. Ячеисто-сетчатое строение «гомогенных» участков магнетита. Угольная реплика со скола магнетита, протравленного в HCl 4000 X (УЭМВ-100)

личными содержаниями  $MgO \theta = 446-540^\circ$ , а у чистого магнезиоферрита  $\theta = 320-350^\circ$ ). Конечно, точка Кюри магнетита может понижаться не только за счет изоморфной примеси магния, но и за счет титана, однако содержания титана в «гомогенных» участках данного магнетита недостаточно высоки, чтобы привести к образованию сетчатых структур ульёшпинели.

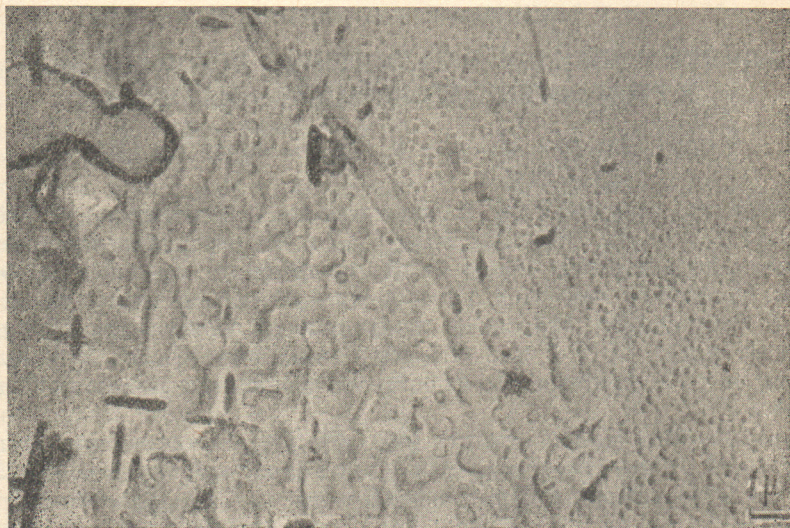


Рис. 4. Переходы от зародышевых бугорчатых структур до сетчатых в «гомогенных» участках магнетита. Угольная реплика со скола магнетита, протравленного в HCl. 4000  $\times$  (УЭМБ-100)

нели, а точка Кюри второй фазы резко отличается от таковой для ульёшпинели ( $\theta = 50-100^\circ$ ).

Таким образом, методами электронной микроскопии, микрозондирования и термомагнитного анализа доказано, что наблюдаемые на электронномикроскопических снимках своеобразные структуры распада образованы двумя фазами, представленными двумя магнетитами, один из которых — обычный, а второй — магнезиальный.

Всесоюзный научно-исследовательский  
институт минерального сырья  
Москва

Поступило  
20 X 1969

#### ЦИТИРОВАННАЯ ЛИТЕРАТУРА

- <sup>1</sup> Г. С. Грицаенко, Б. Б. Звягин и др., Методы электронной микроскопии минералов, «Наука», 1969. <sup>2</sup> В. С. Мясников, Р. В. Боярская, Геол. рудн. месторожд., № 5 (1965). <sup>3</sup> П. Рамдор, Рудные минералы и их срастания, ИЛ, 1962. <sup>4</sup> О. М. Римская-Корсакова, Зап. Всесоюзн. мин. общ., 79, № 3 (1950). <sup>5</sup> А. И. Цветков, В. С. Мясников и др., Изв. АН СССР, сер. геол., № 2 (1965). <sup>6</sup> Е. Н. Nickel, Canad. Mineralogist, 6, Part 2 (1958).